

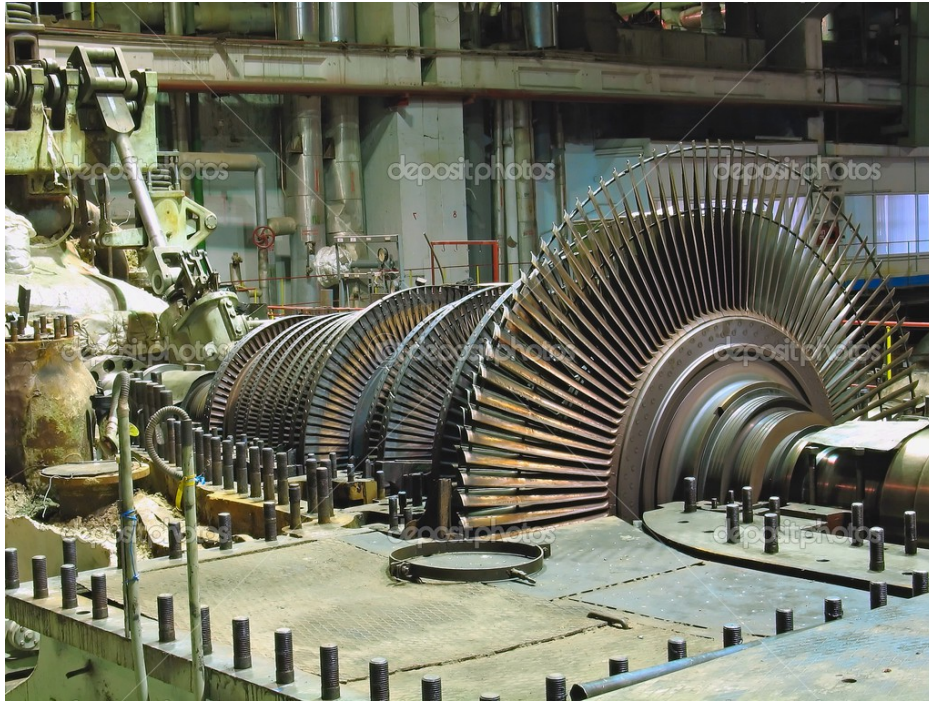
Aplicaciones de CFD en procesos de generación de energía.

M.I. Emilio Martínez Camacho

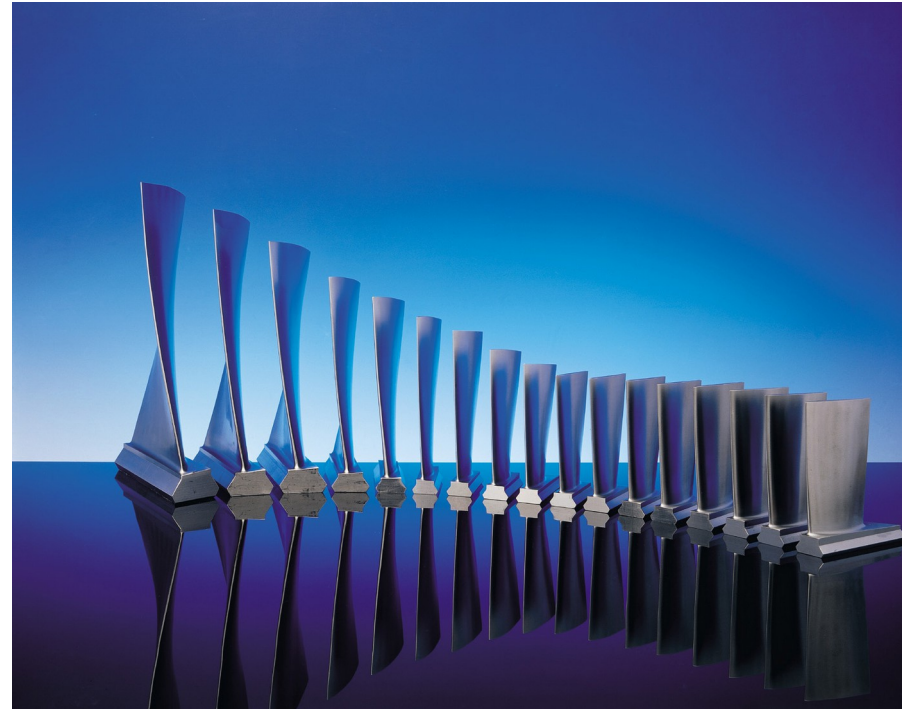
Posgrado de Ingeniería en Energía, UNAM
7 de abril de 2016



Aplicaciones comunes



[1]

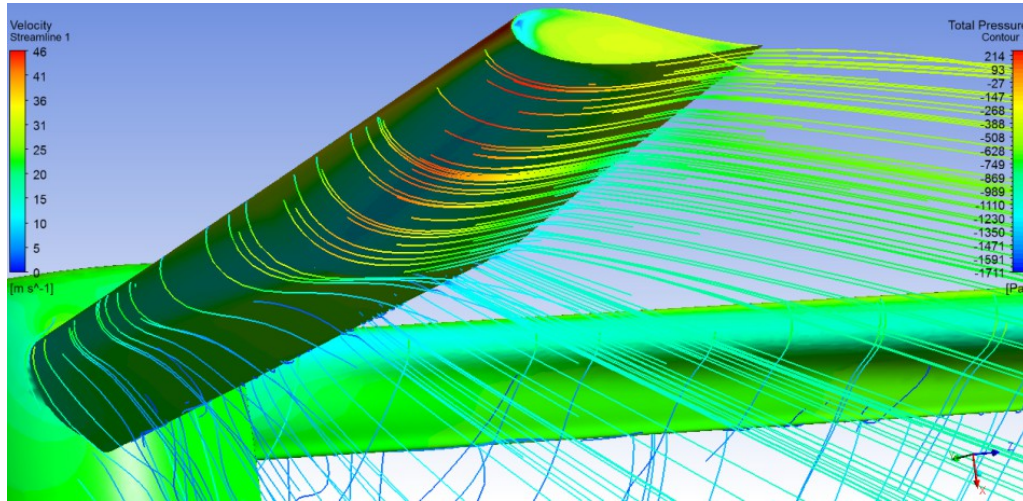


[2]

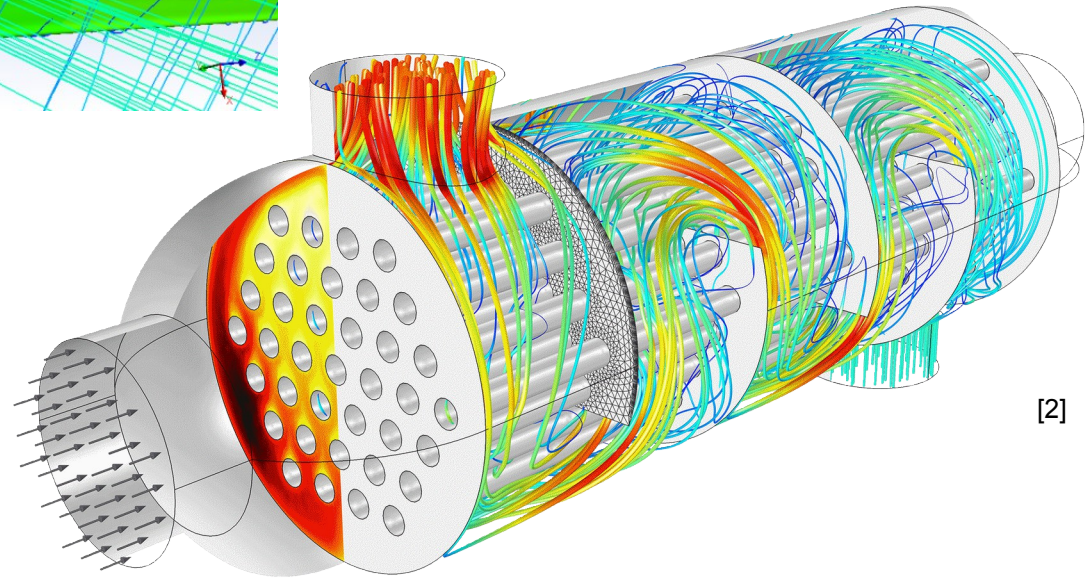
[1] <http://sp.depositphotos.com/2273394/stock-photo-steam-turbine-during-repair-night.html>

[2] http://img.etradeasia.com/customer/87612/comm/upimage/p_090610_07212.JPG

Aplicaciones comunes



[1]

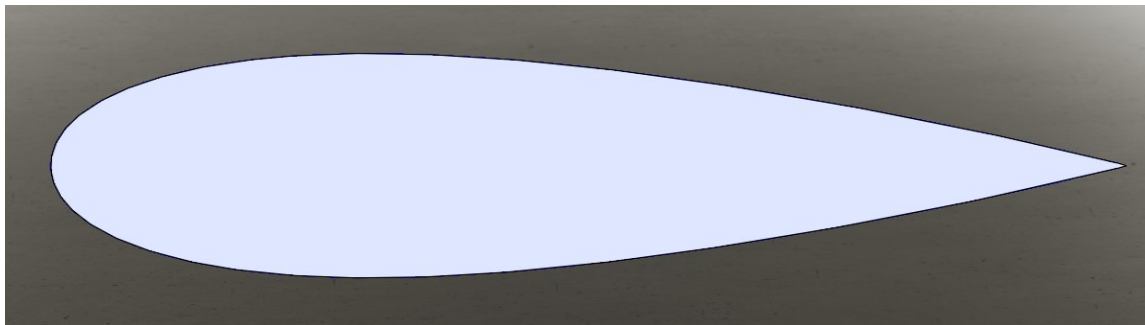


[2]

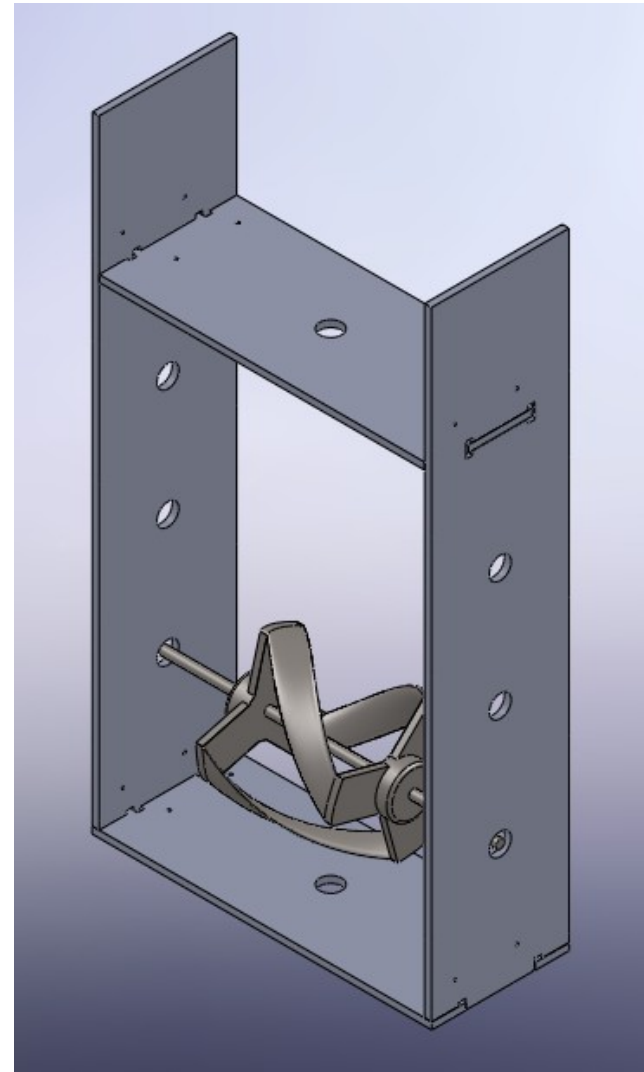
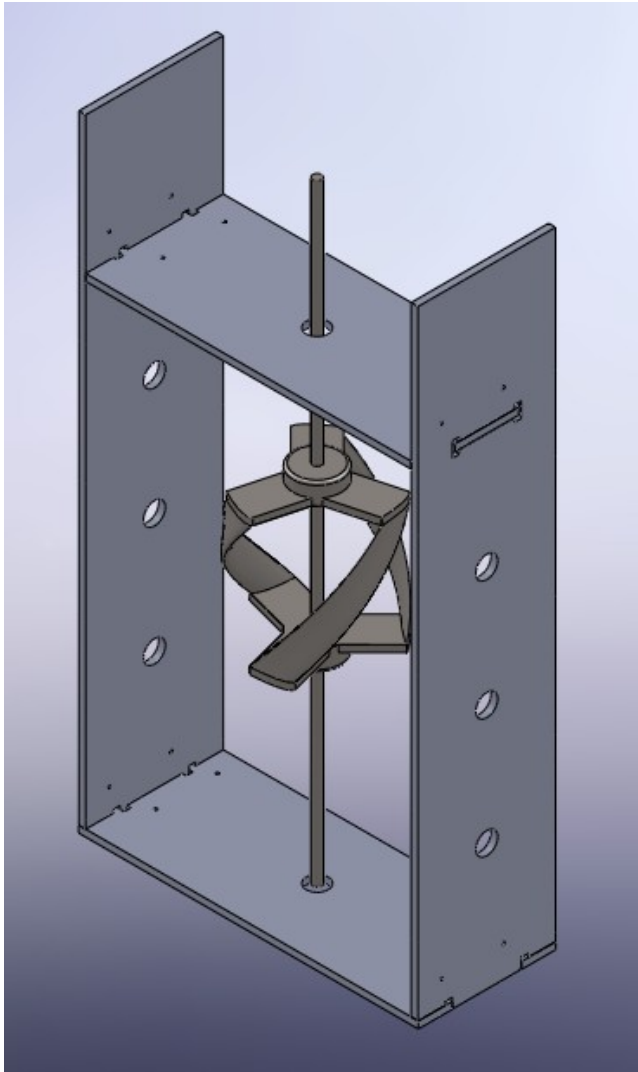
[1] <https://jasf1961.wordpress.com/tag/reynolds/>

[2] <https://www.addlink.es/component/content/article?id=2126:destacados-fluidos-comsol-4-4>

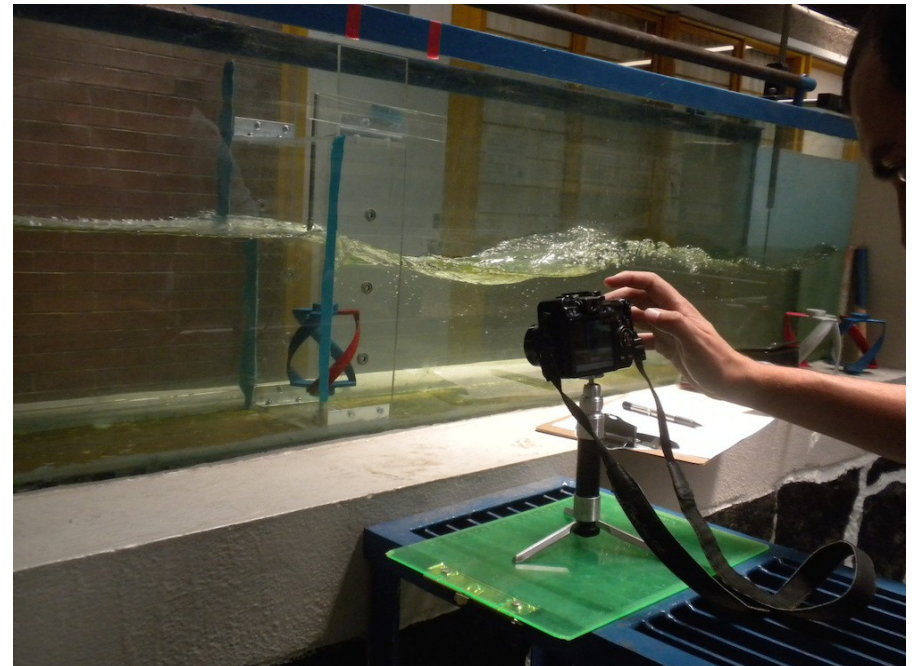
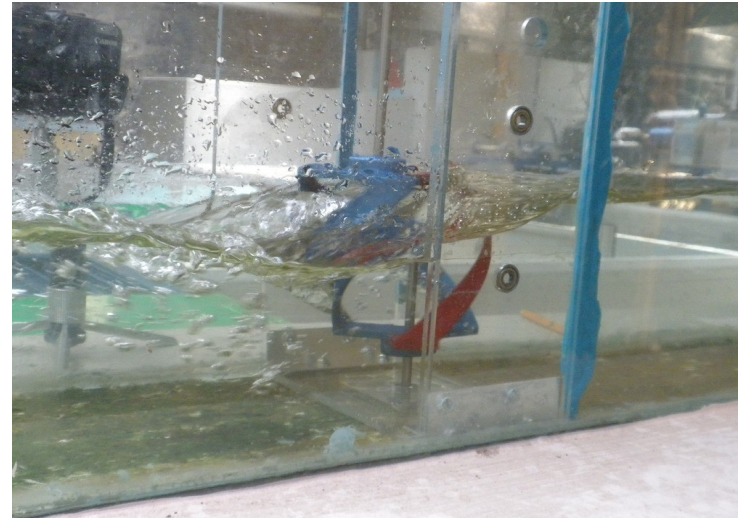
Turbina hidrocínética helicoidal



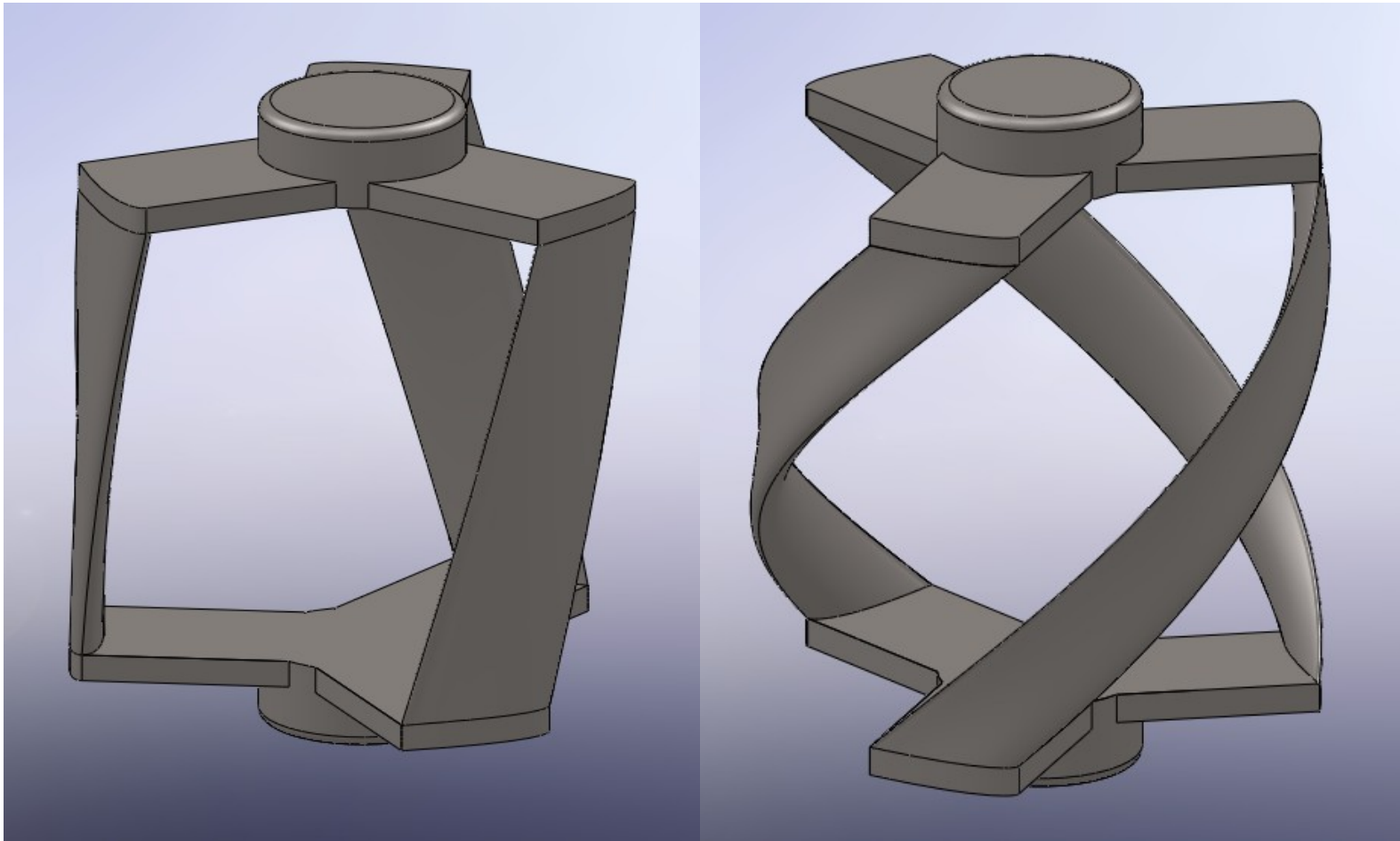
Estructura de sujeción



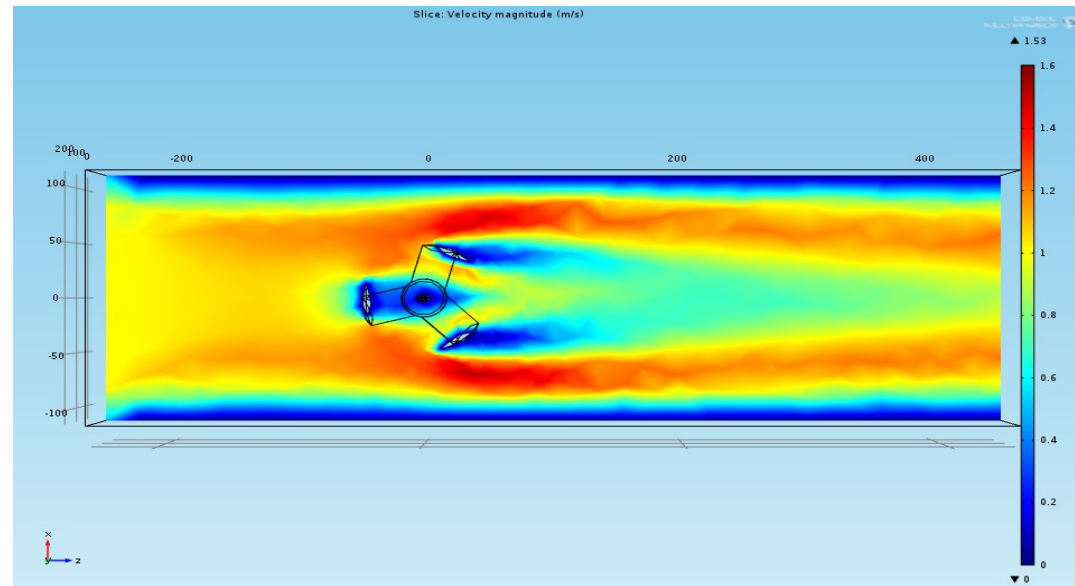
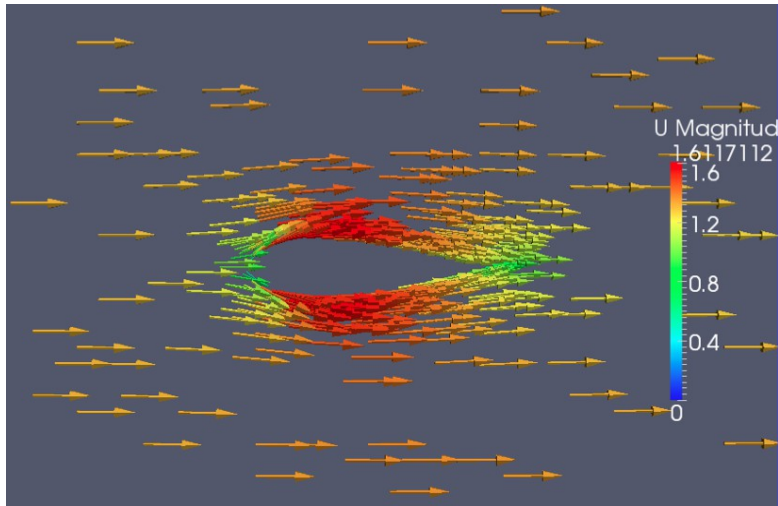
Experimentos



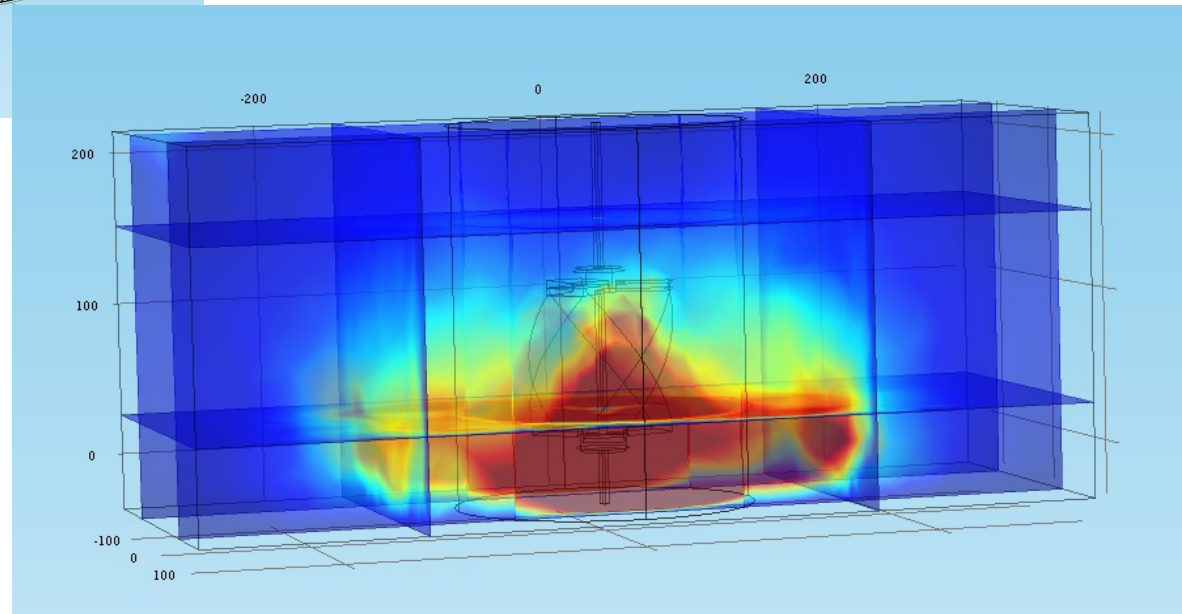
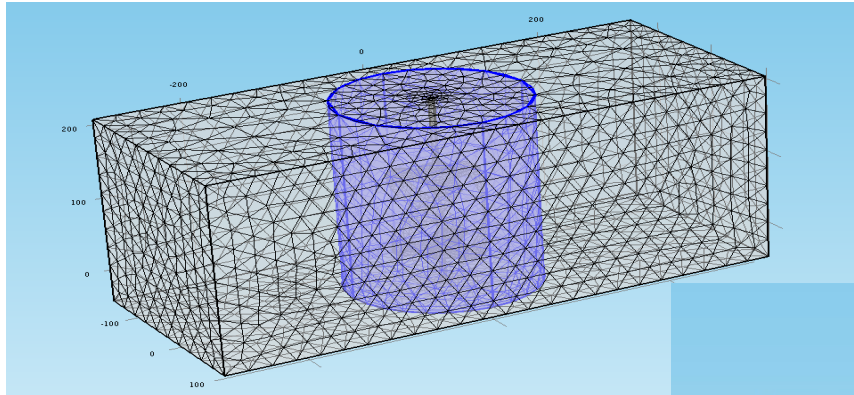
Modelos experimentales



Simulaciones numéricas estacionarias

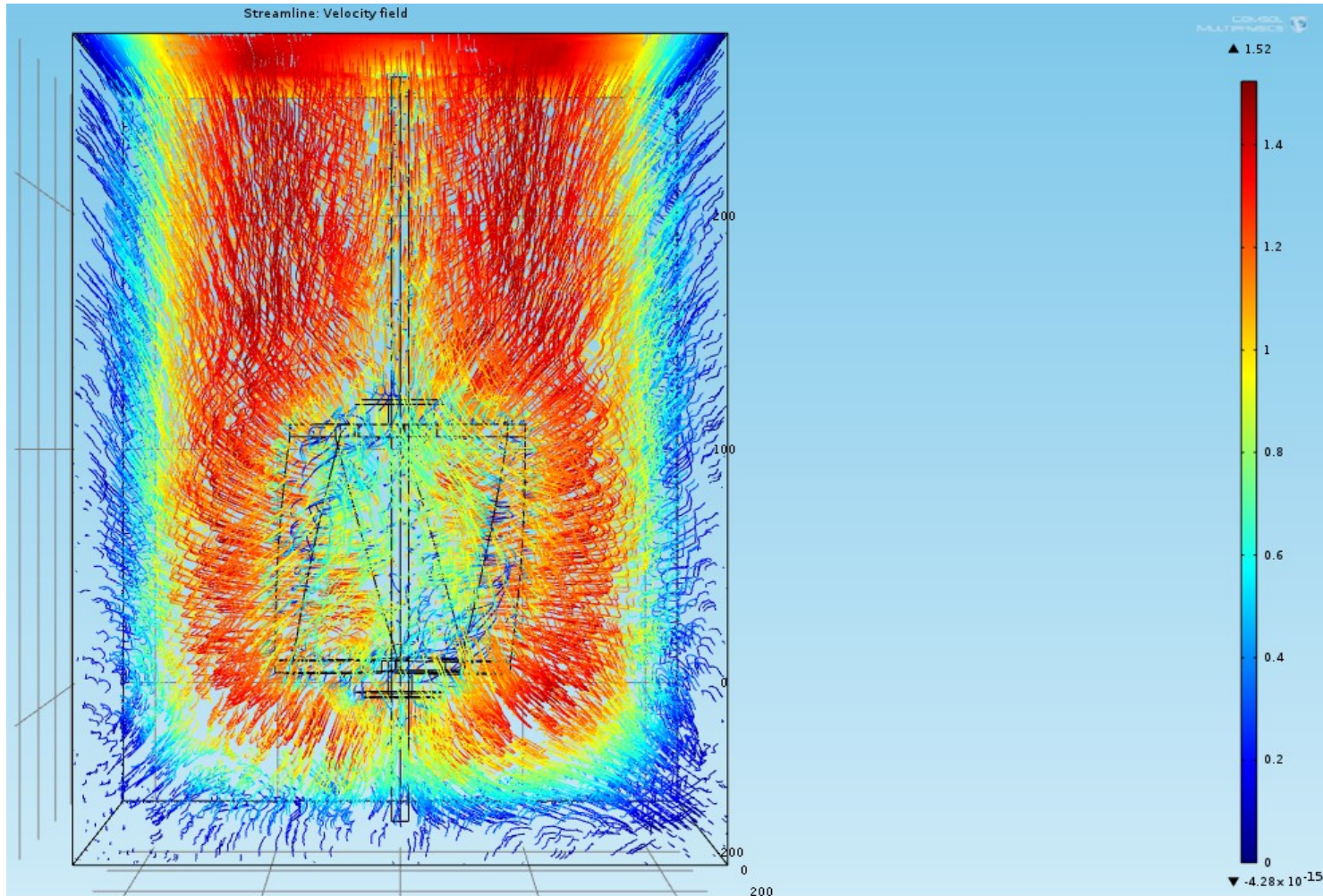


Simulaciones numéricas dinámicas

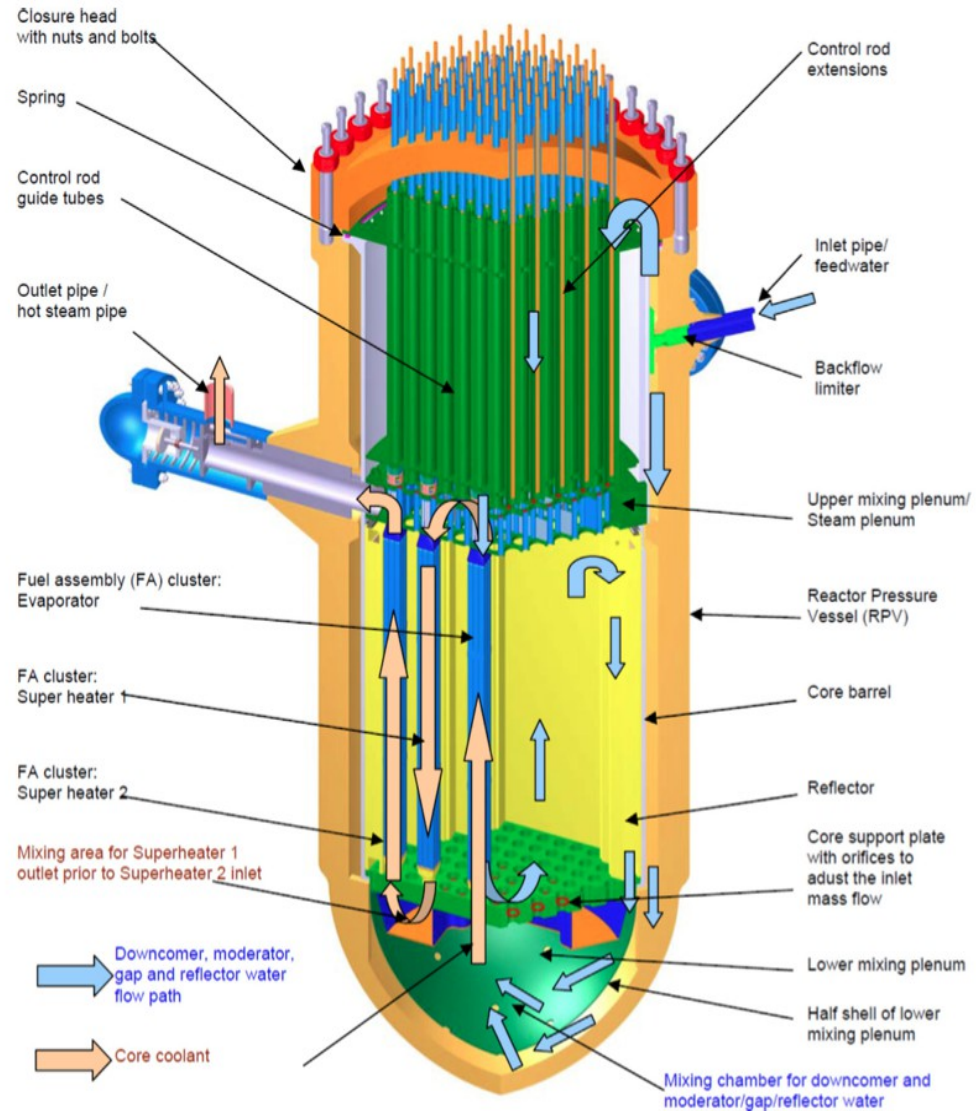


Turbina de 90° a 35 [mm] del fondo. La escala de colores va de 0 (azul) a 0.31 (rojo) [m/s]. Esta simulación se hizo a 6.5 [s] con una velocidad de rotación de 60 [RPM].

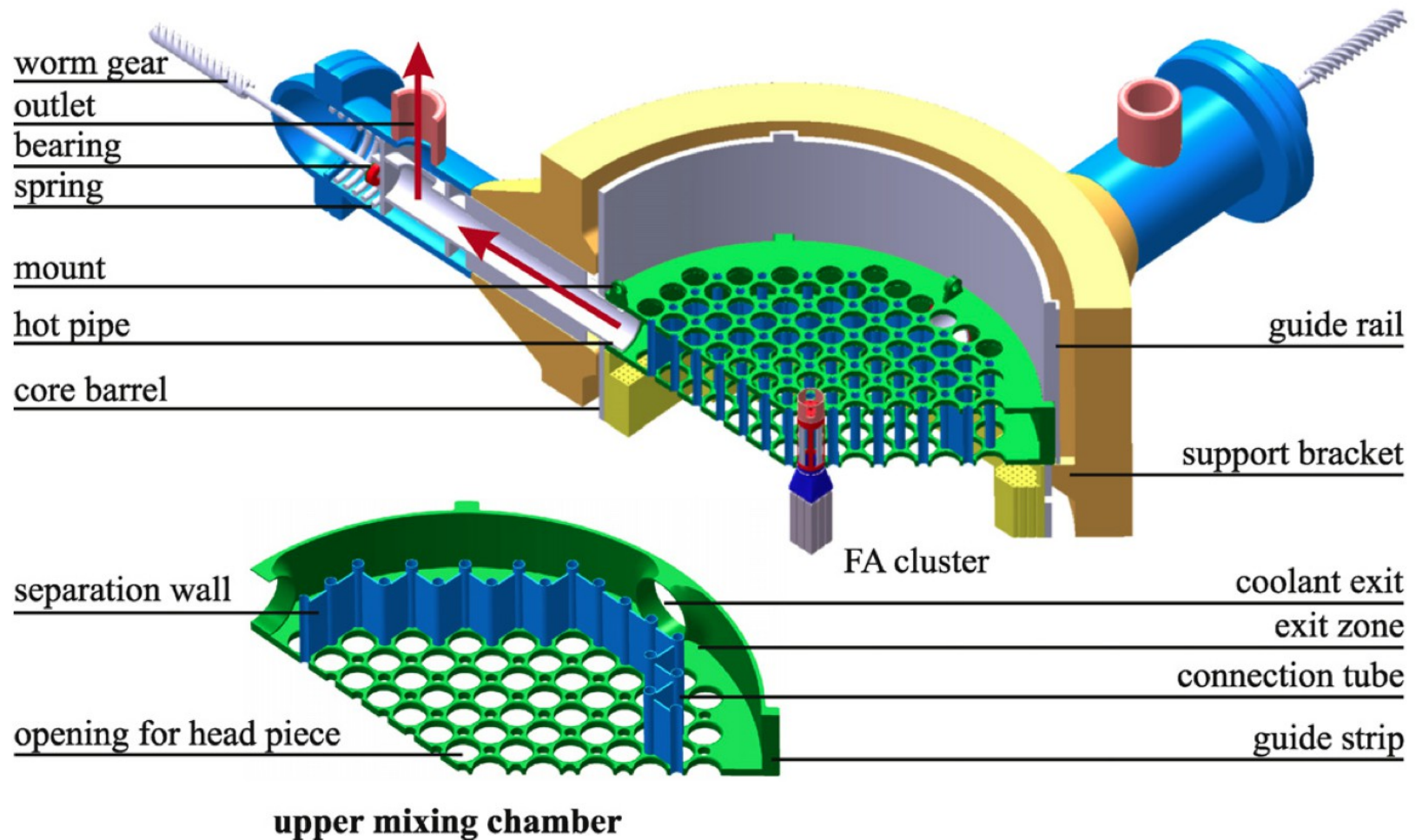
Simulaciones numéricas estacionarias



HPLWR



Pleno superior de mezcla / Vapor



Análisis de mezclado

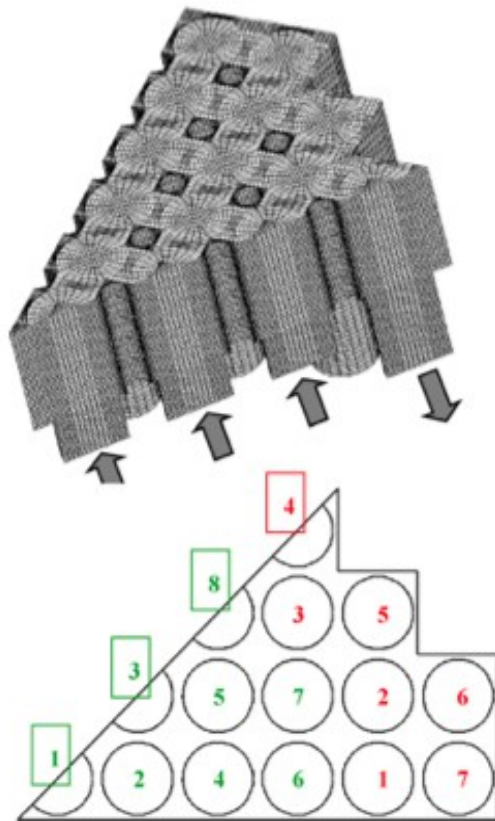


Fig. 5. Simplified model: grid and indicated in- and outlet positions.

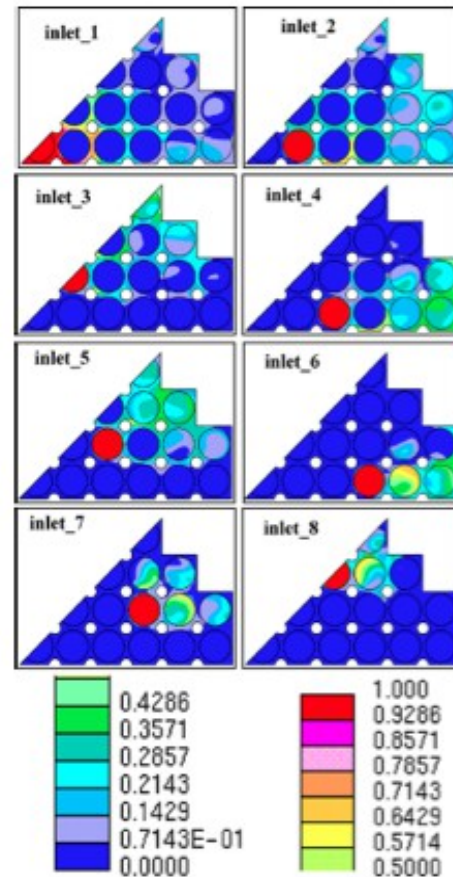
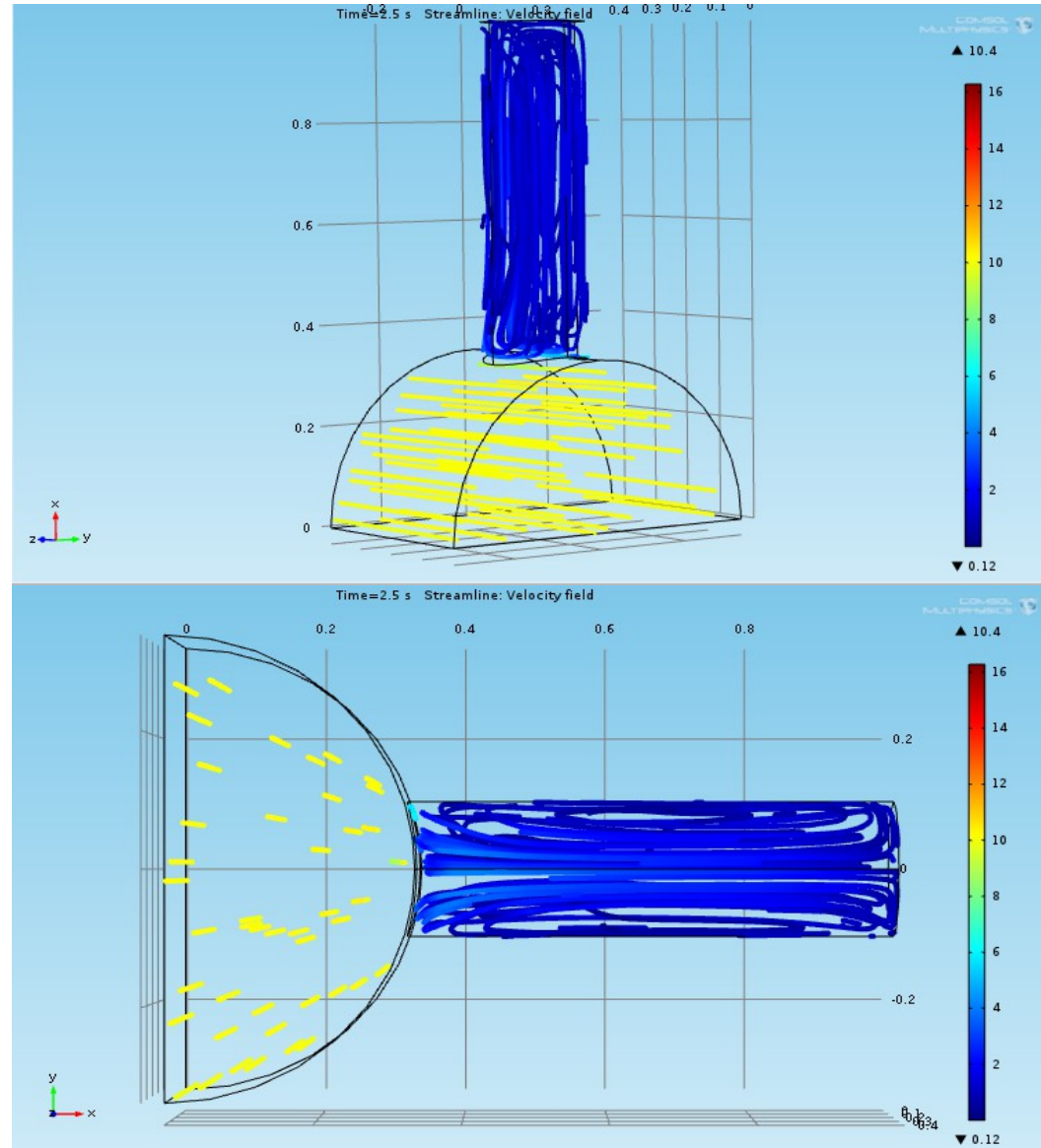


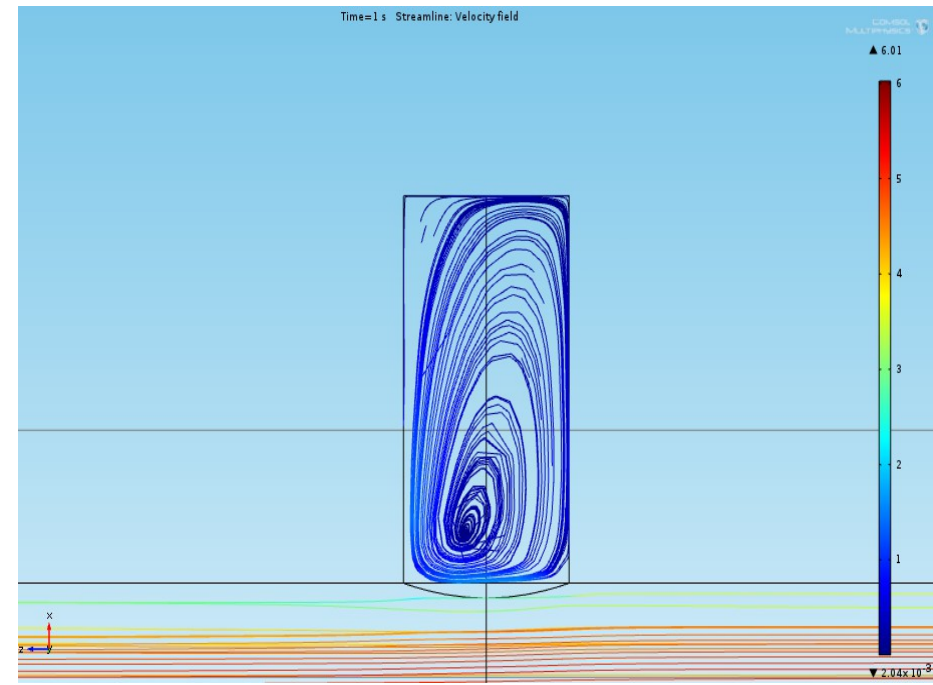
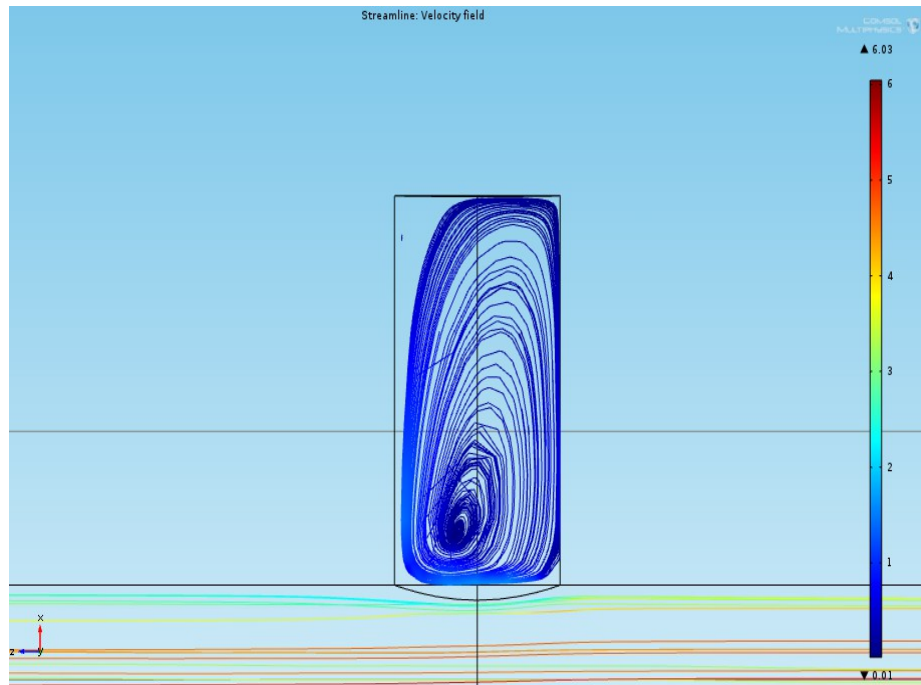
Fig. 6. Scalar concentrations in the upper mixing chamber seen from underneath.

Wank A, Starflinger J, Schulenberg T, Laurien E, “Mixing of cooling water in the mixing chambers of the HPLWR – High Performance Light Water Reactor”, Nuclear Engineering and Design, vol. 240, pp. 3248–3258, 2010.

Sección de línea de vapor BWR



Sección de línea de vapor BWR



Muchas gracias por su atención



La conquista de la energía, José Chávez Morado. 1952.

emiliomtzc@gmail.com